

# Tarea 6 - Shooting Algorithm

Luis Enrique Ruiz-Fernandez

November 2021

Para esta tarea se implementara el algoritmo "shooting" para un juego de persecución-evasión, en donde las coordenadas y la dinámica del evasor se expresa como el siguiente sistema de ecuaciones:

$$\dot{x} = v_e \cos(\alpha) \quad (1)$$

$$\dot{y} = v_e \sin(\alpha), \quad (2)$$

donde  $v_e$  es la velocidad del evasor. Y para el perseguidor que se busca mantener a una distancia fija  $L$ , tenemos:

$$x_p = x + L \cos(\theta) \quad (3)$$

$$y_p = y + L \sin(\theta). \quad (4)$$

Para las solución de este problema es conveniente que  $x$  sea la variable independiente en lugar de tiempo, donde  $x$  y  $y$  son las coordenadas del evasor en un plano 2D. El evasor busca moverse del punto  $x = 0$ , al punto  $x_e$ . Partiendo que  $x$  es la variable independiente, tendrá un crecimiento constante, por lo que se tendrá un sistema modificado dada por  $\zeta = (y, \theta)$  y el sistema de ecuaciones esta dado por:

$$\frac{d}{dx}\zeta = f(\zeta, \alpha), \quad (5)$$

para este sistema modificado,  $\alpha$  sera el control que minimice el Hamiltoniano.

Con respecto a la variable independiente  $x$ , las ecuaciones de evolución de estados queda:

$$\frac{dy}{dx} = \frac{dy}{dt} \left( \frac{dx}{dt} \right)^{-1} = \tan(\alpha) = f_1(\zeta, \alpha) \quad (6)$$

$$\frac{d\theta}{dx} = \frac{d\theta}{dt} \left( \frac{dx}{dt} \right)^{-1} = \frac{\rho \sin(\alpha - \theta) + \sqrt{1 - \rho^2 \cos(\alpha - \theta)^2}}{L\rho \cos \alpha} = f_2(\zeta, \alpha). \quad (7)$$

Para minimizar el ángulo que el perseguidor puede cambiar la orientación de la varilla, que lo conecta con el evasor ( $L$ ), se utiliza la siguiente función de costo:

$$J = \int_0^{x_e} \frac{d\theta}{dx} dx = \int_0^{x_e} f_2(\zeta, \alpha) dx, \quad (8)$$

donde esta sujeto a

$$\begin{aligned} \theta(0) &= \theta \\ y(0) &= y(x_e) = 0. \end{aligned}$$

Para resolver este problema de optimización se utilizara el principio mínimo de Pontryagin (PMP). El hamiltoniano para este problema queda:

$$H = \lambda_1 \tan(\alpha) + (1 + \lambda_2) \frac{-\rho \sin(\alpha - \theta) + \sqrt{1 - \rho^2 \cos(\alpha - \theta)^2}}{L \rho \cos(\alpha)}. \quad (9)$$

Para las ecuaciones adjuntas tenemos:

$$\dot{\lambda}_1 = -\frac{\partial}{\partial y} H = 0 \quad (10)$$

$$\dot{\lambda}_2 = -\frac{\partial}{\partial \theta} H = -(1 + \lambda_2) \frac{\cos(\alpha - \theta)}{L \cos(\alpha)} \left( 1 - \frac{\rho \sin(\alpha - \theta)}{\sqrt{1 - \rho^2 \cos(\alpha - \theta)^2}} \right). \quad (11)$$

Con todo lo anterior podemos implementar el algoritmo que se muestra en la Figura 1.

**Algorithm OptimalEvasion** ( $\theta, x_e$ )

1. Choose initial values for the Lagrange multipliers.
2. Let  $j \leftarrow 0$ ,  $\theta(0) \leftarrow \theta$ ,  $y(0) \leftarrow 0$ ,  $x(0) \leftarrow 0$ .
3. Choose  $\alpha(j)$  that minimizes the Hamiltonian,

$$\alpha(j) = \arg \min \mathcal{H}(\zeta(j), \alpha, x(j))$$

4. Integrate the state equations to determine  $\zeta(j+1)$

$$\begin{aligned} y(j+1) &\leftarrow y(j) + f_1(\zeta(j), \alpha(j))\Delta x \\ \theta(j+1) &\leftarrow \theta(j) + f_2(\zeta(j), \alpha(j))\Delta x \end{aligned}$$

5. Integrate the adjoint equation for  $\lambda_2$  to determine  $\lambda_2(j+1)$ .
6.  $x(j+1) \leftarrow x(j) + \Delta x$ .
7. If  $y(j)$  and  $y(j+1)$  have different sign, then the system has crossed the  $x$  axis.  
If  $|x(j+1) - x_e| < \epsilon$ , then the optimal trajectory is given by  $\alpha(0), \dots, \alpha(j)$ .
8. If  $y(j)$  and  $y(j+1)$  have different sign but  $|x(j+1) - x_e| > \epsilon$ , then we have missed the boundary condition. In this case, adjust the initial values for  $\lambda$  and go to step 2.
9. If  $y(j)$  and  $y(j+1)$  have the same sign, then we have not crossed the  $x$ -axis, and we continue to iterate forward:  $j \leftarrow j+1$ , go to step 3.

Figure 1: Algoritmo para encontrar trayectoria óptima, evasor.

Como apoyo para realizar la tarea se utilizo el articulo [1], en el cual también obtuvimos los parámetros para hacer la simulación y verificar que el resultado fuera el mismo.

Para el primer caso, los parámetros son:

$$\begin{aligned} x_e &= 1 \\ \theta_0 &= \pi \\ \lambda_1 &= -1 \\ \lambda_2 &= 0.41. \end{aligned}$$

El resultado de esta simulación se puede ver en la Figura 2, que podemos observar que es similar a la del artículo [1].

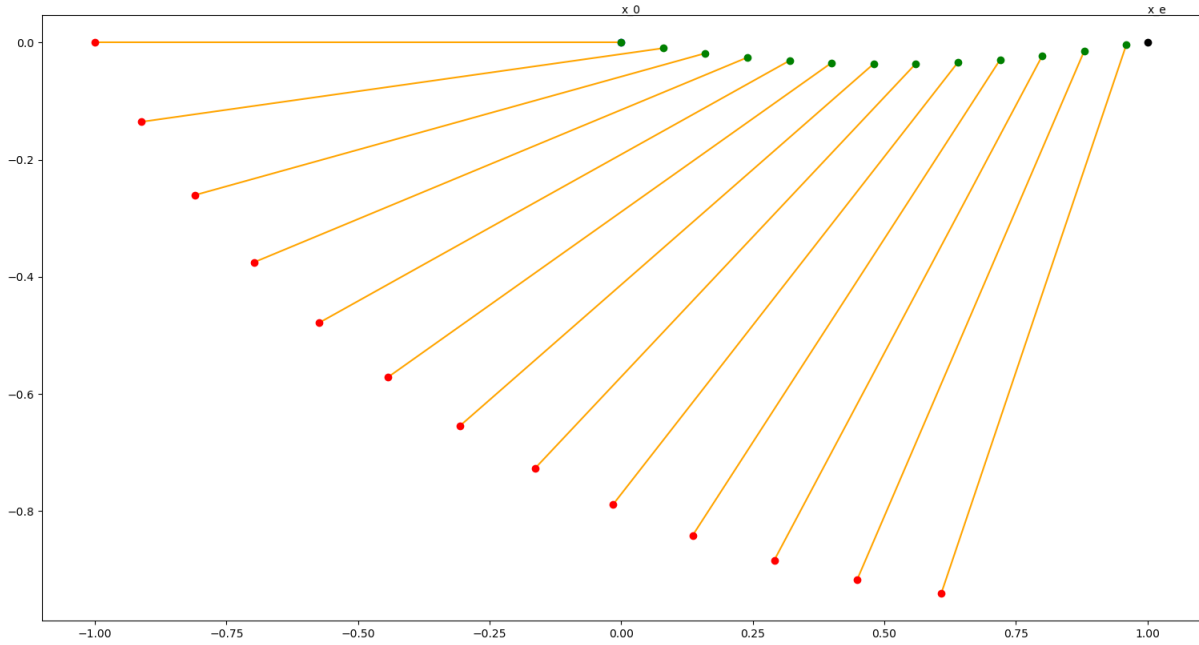


Figure 2: Resultado de simulación de los primeros parámetros.

Y por ultimo los parámetros para la segunda simulación:

$$\begin{aligned} x_e &= 0.5 \\ \theta_0 &= \frac{\pi}{6} \\ \lambda_1 &= 1 \\ \lambda_2 &= 0.608, \end{aligned}$$

que al igual que en caso anterior se puede observar en la Figura 3, que el resultado es similar al artículo.

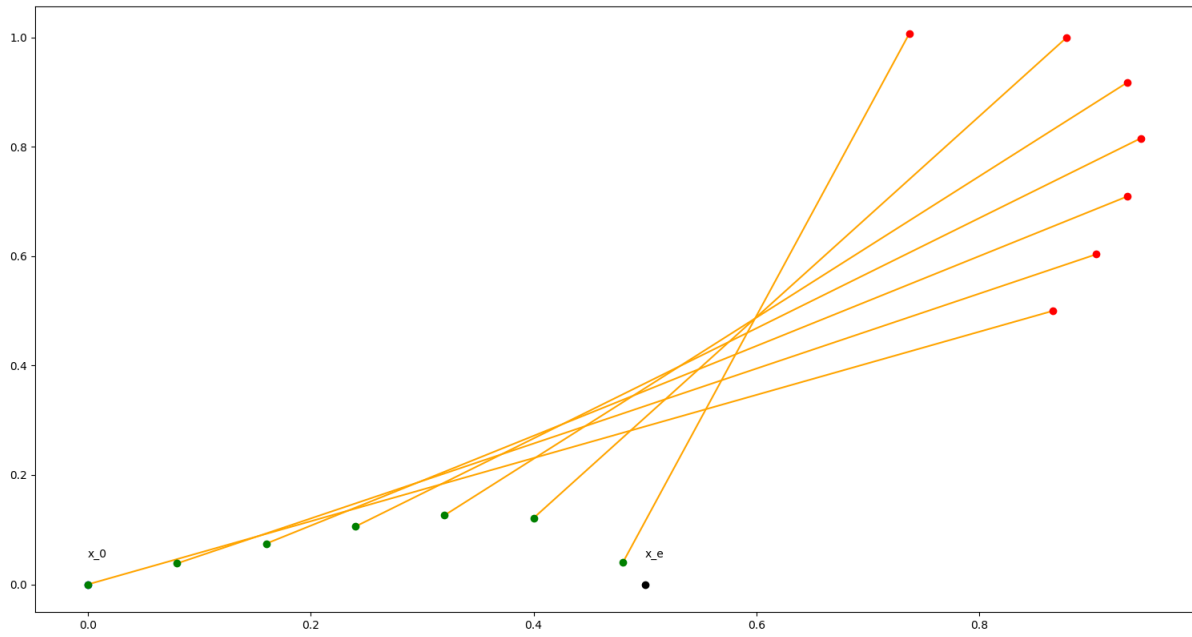


Figure 3: Resultado de simulación de los segundos parámetros.

## Referencias

- [1] Rafael Murrieta-Cid et al. “Surveillance Strategies for a Pursuer with Finite Sensor Range”. In: *The International Journal of Robotics Research* 26.3 (2007), pp. 233–253. DOI: 10.1177/0278364907077083. eprint: <https://doi.org/10.1177/0278364907077083>. URL: <https://doi.org/10.1177/0278364907077083>.